

日本工業大学 正員 ○守原一哉
同 上俊二

1.はじめに

飽和粘土の非排水せん断試験の結果を間隙水圧の面から再検討し、粘土地盤の変形解析に有用な力学モデルを提案しようとしたものである。

2. 実験概要

表-1 に示す物性を有する冲積粘土に対して、表-2 の試験条件で三軸非排水せん断試験を行った。間隙水圧は円筒試験体の底部で測定した。

3. 実験結果と考察

(1) 間隙水圧とビズミの関係:

図-1 はせん断過程に生ずる間隙水圧と軸ビズミとの関係を示したものである。 Δu^* における、非排水せん断時の $u \sim \varepsilon$ 関係には拘束圧、粘土構造、総透水係数・静的載荷の相違に無関係に、ユニーフな関係があるとされていきけれども、今回の実験では両者の関係は拘束圧の影響をうけ、おしづけられた u^* ($= u/\sigma_c$) との間に单一の関係があり、そのことをかかえた(図-1)。

このから $\Delta u^* \sim \varepsilon$ 間に双曲線を仮定して

$$\Delta u^* = \Delta u/\sigma_c = \varepsilon / (a + b\varepsilon) \quad \therefore \Delta u = \sigma_c \cdot \varepsilon / (a + b\varepsilon) \quad (1)$$

と表現することができます。ここで、 a, b は実験定数である。

(2) 間隙水圧と応力比の関係: セン断時の間隙水圧は一般に次式のように表わされる。

$$\Delta u = \Delta p + A \Delta \gamma = \Delta u_c + \Delta u_d \quad (\Delta p = (\Delta \sigma_t + 2\Delta \sigma_s)/3, \Delta \gamma = \Delta \sigma_t - \Delta \sigma_s) \quad (2)$$

ここで、 Δu_c は平均主応力による γ 、 Δu_d は偏差応力によつてきまる間隙水圧成分である。とくに、 Δu_d は、セン断ビズミ同様、そのものよりも γ/p' によつて整理する方がより普遍的に表現しうるものではないかと予測して式(2) を

$$\Delta u = \Delta p + f(\gamma/p') \quad \therefore \Delta u - \Delta p = \Delta u_d = f(\gamma/p') \quad (3)$$

と表わし、非排水せん断試験の結果からこの $f(\gamma/p')$ をきめようとしたのが図-2 である。これから筆者らの予測を裏付ける結果となつてあり、この挙動はまた、次の非排水せん断時のダイレイタンシー挙動と表裏をなすものと興味深い知見と言えよう。

(3) 非排水せん断時のダイレイタンシーと応力比の関係: 次に、非排水せん断過程に發揮されていると考えられるダイレイタンシーによる変形を調べてみよう。

同様のようないくつかの体積変化 ΔV は圧密による ΔV_c とダイレイタンシーによる ΔV_d の重ね合せによつて

表-1 冲積粘土の物性

比重 G_s	2.65
液性限界 $WL(\%)$	115
塑性指数 I_p	58
先行荷重 $P_c (\text{kg}/\text{cm}^2)$	0.5
初期含水率 $w_i (\%)$	91

表-2 三軸試験条件

供試体高さ $H (\text{cm})$	8.5
供試体径 $D (\text{cm})$	3.5
拘束圧 $\sigma_c (\text{kg}/\text{cm}^2)$	1.0, 1.5, 2.0
背圧 (kg/cm^2)	$\sigma_c/2$
レズミ速度 (%/min)	0.08

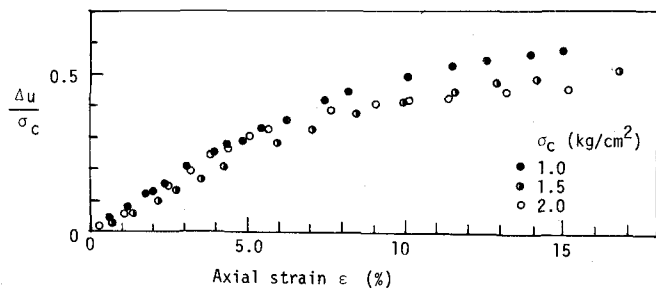


図-1 非排水せん断時の間隙水圧と軸ビズミの関係

このから $\Delta u^* \sim \varepsilon$ 間に双曲線を仮定して

$$\Delta u^* = \Delta u/\sigma_c = \varepsilon / (a + b\varepsilon) \quad \therefore \Delta u = \sigma_c \cdot \varepsilon / (a + b\varepsilon) \quad (1)$$

と表現することができます。ここで、 a, b は実験定数である。

(2) 間隙水圧と応力比の関係: セン断時の間隙水圧は一般に次式のように表わされる。

$$\Delta u = \Delta p + A \Delta \gamma = \Delta u_c + \Delta u_d \quad (\Delta p = (\Delta \sigma_t + 2\Delta \sigma_s)/3, \Delta \gamma = \Delta \sigma_t - \Delta \sigma_s) \quad (2)$$

ここで、 Δu_c は平均主応力による γ 、 Δu_d は偏差応力によつてきまる間隙水圧成分である。とくに、 Δu_d は、セン断ビズミ同様、そのものよりも γ/p' によつて整理する方がより普遍的に表現しうるものではないかと予測して式(2) を

$$\Delta u = \Delta p + f(\gamma/p') \quad \therefore \Delta u - \Delta p = \Delta u_d = f(\gamma/p') \quad (3)$$

と表わし、非排水せん断試験の結果からこの $f(\gamma/p')$ をきめようとしたのが図-2 である。これから筆者らの予測を裏付ける結果となつてあり、この挙動はまた、次の非排水せん断時のダイレイタンシー挙動と表裏をなすものと興味深い知見と言えよう。

(3) 非排水せん断時のダイレイタンシーと応力比の関係: 次に、非排水せん断過程に發揮されていると考えられるダイレイタンシーによる変形を調べてみよう。

同様のようないくつかの体積変化 ΔV は圧密による ΔV_c とダイレイタンシーによる ΔV_d の重ね合せによつて

$$\Delta V = \Delta V_c + \Delta V_d \quad (4)$$

と表わせると言われている。非排水せん断時ににおいては $\Delta V = 0$ であるから式(4)より

$$\Delta V_d = -\Delta V_c = -\frac{\lambda}{1+\epsilon_0} \cdot \frac{dp'}{p'} \quad (5)$$

が得られることになる（ λ ：圧縮指数）。この量が非排水せん断時のダイレイタンシー相当量と考えられるので、各試験からこれを求めたときの応力比に対応させて結果が図-3 である。非排水時のダイレイタンシーと同様に応力状態を超える領域で

$$V_d = D \left(\frac{q}{p'} - c \right) \quad (6)$$

なる簡単な実験式が成り立ちようなどといふことができる。ここで、 c はおそらく時間依存の実験定数で、せん断時のひずみ速度が遅くなるに伴つて消失するものと予測される。

4. 飽和粘土の非排水せん断モデル

3. でのべた非排水せん断試験結果を利用して、非排水せん断時の飽和粘土の構成モデルを仮定してみた。

まず、直角水压 Δu は図-4 に示すように時間非依存成分 $\Delta u(0)$ と時間依存成分 $\Delta u(t)$ から成るとして次式を仮定する。

$$\Delta u = \Delta u(0) + \Delta u(t) \quad (7)$$

次に、式(1)を Δu に適用しようとすると

$$\Delta u = \sigma_3 \cdot \frac{\varepsilon}{a + b\varepsilon} \quad (8)$$

さうに直角水压変化速度 $\dot{\Delta u}$ と時間も直線的に両対数紙上で直線的に表わせるという仮定を用いて得られる

$$\dot{\Delta u} = A \exp(\alpha D) t_o^m \cdot \frac{1}{1-m} (t^{1-m} - t_o^{1-m}) \quad (9)$$

を式(8)へ代入するとこう

$$\varepsilon = \frac{a \cdot \sigma_3 \cdot A \cdot \exp(\alpha D) t_o^m \cdot (t^{1-m} - t_o^{1-m}) / (1-m)}{1 - b \cdot \sigma_3 \cdot A \exp(\alpha D) t_o^m \cdot (t^{1-m} - t_o^{1-m}) / (1-m)} \quad (10)$$

これが非排水せん断時の応力・ひずみ・時間モデルである。現在クリー試験によつて上式の妥当性を確かめつつある。

引用文献 : (1) Lo, K.Y. (1969) : The Pore pressure-strain Relationship of Normally Consolidated Undisturbed Clays, Part 1, Part 2, Canadian Geotechnical Journal, Vol.6, pp.383-412. (2) Singh, A. and J.K. Mitchell (1968) : General Stress-Strain-Time Function for Soils, Proc. ASCE, Journ. of SMFE, Vol.94, No. SM1, pp.21-46.

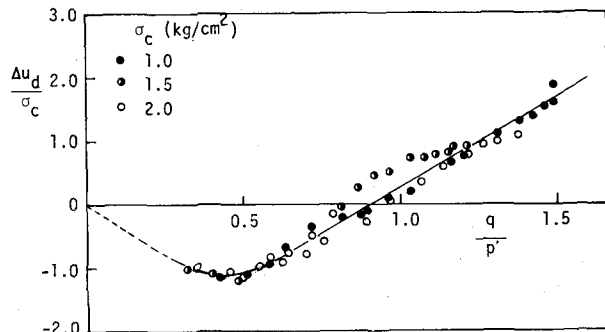


図-2 偏差応力による直角水压と応力比の関係

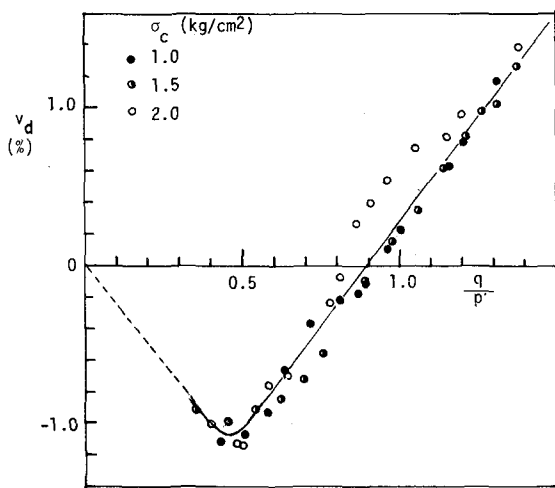


図-3 非排水せん断時のダイレイタンシーと応力比の関係

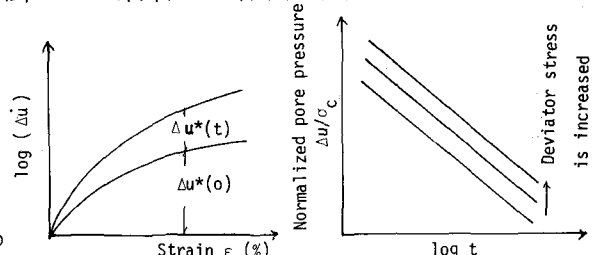


図-4 飽和粘土の Δu-ε-時間モデル